

# **DESAIN MODEL PREDICTIVE CONTROL (MPC) PADA SHELL HEAVY OIL FRACTIONATOR (SHOF)**

Scenda Bernados Purba<sup>\*)</sup>, Aris Triwiyatno<sup>\*)</sup>, and Budi Setiyono<sup>\*)</sup>

Jurusen Teknik Elektro, Universitas Diponegoro Semarang  
Jl. Prof. Sudharto, SH, Kampus UNDIP Tembalang, Semarang 50275, Indonesia

<sup>\*)</sup>E-mail: sbpurba@outlook.com, aristriwiyatno@yahoo.com, budisty@gmail.com

## **Abstrak**

Teknologi *model predictive control* (MPC) telah banyak diterapkan dalam industri perminyakan dan petrokimia serta mulai menarik perhatian dari industri proses lainnya. Sebuah desain MPC diusulkan untuk masalah kontrol proses multivariabel pada *shell heavy oil fractionator* (SHOF) dengan kendala (*constraint*). Kemampuan MPC dalam menangani berbagai macam *constraint* serta gangguan-gangguan diuji melalui *plant* SHOF yang memiliki *deadtime* proses yang cukup besar. Pada studi ini skema kontrol MPC memanfaatkan beberapa model linier untuk mencangkup rentang yang lebih luas dari kondisi operasi. Model yang digunakan disesuaikan dengan kondisi operasi. Kasus kontrol *regulator* serta penanganan *constraint* dari proses SHOF telah diperiksa. Perbandingan dibuat dengan kontroler konvensional PID pada kondisi *plant* yang sama. Hasil dari keseluruhan pengujian mengkonfirmasi potensi dari desain MPC yang diusulkan. Desain MPC mampu menangani seluruh *constraint* serta gangguan terukur maupun gangguan tak terukur. Lain hal dengan bandingnya, skema PID menunjukkan unjuk kerja yang jauh lebih buruk dari desain MPC yang diusulkan.

*Kata kunci:* MPC, Model, Predictive, SHOF

## **Abstract**

Model predictive control (MPC) technologi has been widely applied in refinery and petrochemical industries and it is beginning to attract interest from other process industries. A model predictive control design is proposed for multivariable process control in shell heavy oil fractionator (SHOF) with constraint. MPC capability in handling various kinds of constraints and disturbances were tested through the SHOF plant, which has a dead time process significantly. In this study, MPC control scheme utilizing multiple linear models for covers a wider range of operating conditions. The model is used according to the conditions of operation. Case regulator control and constraint handling of the SHOF been examined. Comparisons are made with conventional PID control on the same plant conditions. The result of all test confirm the potential of proposed MPC design. MPC design capable of handling all the constraints as well as measurable disturbances and immeasurable disturbances. Another thing with the comparison, PID scheme shows a performance far worse than the proposed MPC design.

*Keywords:* MPC, Model, Predictive, SHOF

## **1. Pendahuluan**

*Predictivecontrol* merupakan salah satu metode kontrol yang secara luas dikembangkan dan digunakan di industri, terutama pada kontrol proses dimana terdapat kendala, multivariabel dan ketidakpastian. Implementasi dari algoritma ini telah banyak diimplementasikan dalam aplikasi-aplikasi di dunia industri [1].

Algoritma MPC yang paling terkenal dan banyak digunakan pada industri proses kimia hingga saat ini adalah *dynamicmatrixcontrol* (DMC) [2]. Selama satu dekade terakhir, DMC telah diimplementasikan pada

cakupan yang lebih luas pada penerapan proses industri. Sebagian besar daya tarik DMC dalam industri berasal dari penggunaan model proses finite step response dan kinerja dari sebuah fungsi objektif kuadratik yang sederhana [3]. Fungsi objektif diminimalkan melalui prediksi *horizon* untuk menghitung pergerakan output pengendali yang optimal.

Secara umum pengendali MPC memiliki parameter-parameter tertentu untuk mencapai kinerja yang optimal. Parameter-parameter tersebut adalah waktu cuplik (T), prediksi *horizon* (P), model *horizon* (N), *controlhorizon* (M), *controlledvariableweights* ( $\gamma_s^2$ ), dan koefisien *movesuppression* ( $\lambda_s^2$ ). Hingga saat ini, *trial-and-error*

telah dilakukan untuk menemukan solusi pengendalian menggunakan MPC hingga Shridhar dan Cooper mengusulkan strategi tuning untuk SISO dan multivariabel MPC tanpa kendala [4]. Dougherty dan Cooper (2003) mengusulkan strategi tuning non-adaptive DMC berdasarkan pada semua model FOPDT dalam sistem [4].

Metode dekopling telah dilakukan untuk menghilangkan saling keterkaitan antara pengendalian variabel satu dengan yang lainnya pada sistem multivariabel proses kolom distilasi jenis SHOF. Jusagamal (2011) menggunakan kontrol PID dengan metode kontrol PI, *tuning Chien Regulator 1*, serta *tuning minimum IAE-Murill Regulator*, sedangkan Meilia (2012) mengimplementasikan kombinasi antara algoritma genetika dan FLC (*genetic-fuzzy controller*) pada pengontrolan proses SHOF [4][5]. Pengontrolan menggunakan PID menunjukkan kinerja yang lebih baik daripada menggunakan FLC [5].

Dalam penelitian ini, sistem kontrol dirancang dengan kontrol prediktif berbasis model (MPC). Proses pada kolom distilasi jenis SHOF digunakan untuk mengkaji kemampuan dari strategi MPC dalam pengontrolan proses multivariabel untuk meregulasi variabel proses, menangani kendala (*constraint*), menolak gangguan, dan memenuhi tujuan ekonomi dengan adanya waktu mati (dead time) yang panjang, kendala berlipat, serta campuran tanggapan cepat dan lambat.

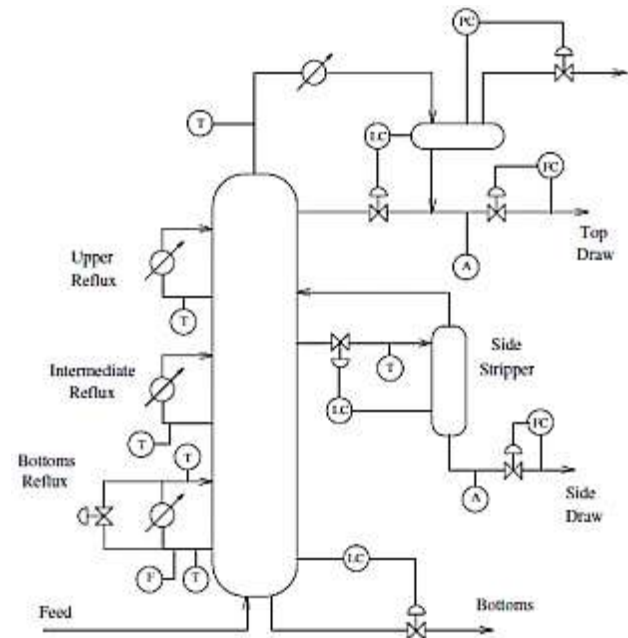
## 2. Metode

### 2.1. Shell Heavy Oil Fractionator

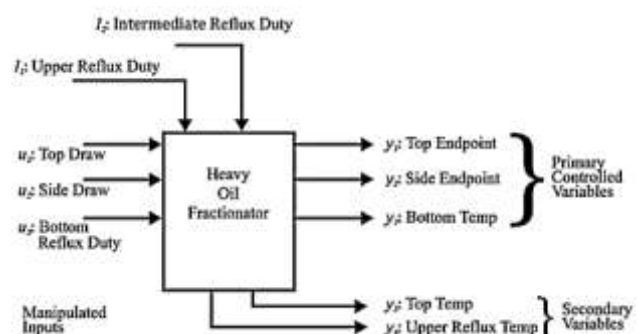
Pada tahun 1987, dalam “*Shell Process Control Workshop*”, Prett dan Morari mengusulkan sebuah masalah pengendalian umum yang dikenal dengan *Shell Heavy Oil Fractionator* [7]. Sebagaimana didefinisikan oleh Prett dan Morari, SHOF ini merupakan model linear yang tidak mewakili sebuah proses, yang nyata ada, tetapi dirancang untuk menunjukkan fitur rekayasa kontrol paling signifikan yang dihadapi pada fraksinasi minyak yang nyata [8].

#### 2.1.1. Deskripsi Proses SHOF

Gambar 1. menunjukkan skema dari SHOF serta instrumentasi terkait. *Feed vapor* masuk pada bagian bawah kolom dan tiga macam produk keluar/ meninggalkan kolom. Energi panas (*heat*) diperoleh dari kolom melalui tiga buah sirkulasi *reflux*. Sirkulasi *reflux* atas dan tengah berperan sebagai gangguan, sedangkan sirkulasi *reflux* bagian bawah (digunakan untuk membuat uap) bertindak sebagai variabel yang dapat dimanipulasi. Tujuan ekonomi dari SHOF ini yaitu memaksimalkan pembuatan uap pada *refluxboiler* bagian bawah, disamping mempertahankan spesifikasi kualitas produk.



Gambar1. HeavyOilFractionator[9]



Gambar2. Diagram skematik HeavyOilFractionator[7]

Gambar 2 menunjukkan diagram skematik dari proses SHOF. Dalam penelitian ini variabel sekunder (*measuredoutput*) diabaikan. *Endpoint* merupakan tahap pengukuran kuantitatif perubahan fisik dalam larutan yang ditentukan oleh indikator atau instrumen yang digunakan [10]. Pengukuran volume (*topdraw* dan *sidedraw*) serta laju perubahan temperatur menentukan kuantitas dari *Endpoint*. Tabel 1 menjelaskan pengukuran dari variabel-variabel terkait.

Keseluruhan variabel-variabel direpresentasikan oleh variabel skalar pada setiap kasus [8]. Artinya seluruh variabel direpresentasikan pada units satuan skalar.

Table 1. Pengukuran variabel-variabel pada SHOF

Variabel	Instrumentasi		
	Keterangan	Simbol	Ukuran
Top Draw	Laju aliran atas	FT	Debit fluida
Side Draw	Laju aliran tengah	FT	Debit fluida
Bottom Reflux Duty	Reflux duty bawah	QT	Duty

Intermediate Reflux Duty	Reflux duty tengah	QT	Duty
Upper Reflux Duty	Reflux duty atas	QT	Duty
Top Endpoint	Tahap pengukuran	A*	Analisis
Side Endpoint	Tahap pengukuran	A*	Analisis
Bottom Reflux Temp	Temperatur reflux	TT	Temp

- FT : *Flow Transmit*  
 TT : *Temperature Transmit*  
 A : *Analyzer*, instrumen analisis kuantitatif  
*Endpoint*(konduktivitas, titrimetri  
*thermometric*[11])  
 \* : Literatur lain memberikan simbol CT,  
*conductivity transmit* [7]  
 QT : *Quantity Transmit*, pengukuran *reflux duty*.  
 Duty : Ukuran efektifitas perpindahan panas (*Heat Transfer*), didapatkan dari ukuran laju aliran, temperatur serta koefisien perpindahan panas.

### 2.1.2. Model Proses SHOF

Dalam penelitian ini, model proses SHOF menggunakan model berdasarkan penelitian terdahulu [12][13].

**Table 2. Fungsi Alih dari Input Kontrol terhadap Output [12]**

	TOP DRAW $u_1$	SIDE DRAW $u_2$	BOTTOMS REFLUX DUTY $u_3$
TOP END POINT $y_1$	$K = 4,05$	$K = 1,77$	$K = 5,88$
	$\mathcal{T} = 50$	$\mathcal{T} = 60$	$\mathcal{T} = 50$
	$L = 27$	$L = 28$	$L = 27$
SIDE END POINT $y_2$	$K = 5,39$	$K = 5,72$	$K = 6,90$
	$\mathcal{T} = 50$	$\mathcal{T} = 60$	$\mathcal{T} = 40$
	$L = 18$	$L = 14$	$L = 15$
BOTTOMS REFLUX TEMP $y_3$	$K = 4,38$	$K = 4,42$	$K = 7,20$
	$\mathcal{T} = 33$	$\mathcal{T} = 44$	$\mathcal{T} = 19$
	$L = 20$	$L = 22$	$L = 0$

**Table 2. Fungsi Alih dari Input Gangguan terhadap Output [12]**

	INTER. REFLUX DUTY $d_m$	UPPER REFLUX DUTY $d_{um}$
TOP END POINT $y_1$	$K = 1,20$	$K = 1,44$
	$\mathcal{T} = 45$	$\mathcal{T} = 40$
	$L = 27$	$L = 27$
SIDE END POINT $y_2$	$K = 1,52$	$K = 1,83$
	$\mathcal{T} = 25$	$\mathcal{T} = 20$
	$L = 15$	$L = 15$
BOTTOMS REFLUX TEMP $y_3$	$K = 1,14$	$K = 1,26$
	$\mathcal{T} = 27$	$\mathcal{T} = 32$
	$L = 0$	$L = 0$

Tabel 2. menunjukkan data nominal fungsi alih FOPDT (*first order plus dead time*) dari *input* kontrol terhadap *output*, sedangkan Tabel 3 menunjukkan fungsi alih dari *input* gangguan terhadap *output*. Satuan waktu untuk waktu tunda L dan konstanta waktu proses T adalah dalam menit. Sehingga matriks fungsi alih proses dapat ditunjukan pada persamaan 1.

$$\begin{bmatrix} y_1(s) \\ y_2(s) \\ y_3(s) \end{bmatrix} = \begin{bmatrix} \frac{4,05e^{-27s}}{50s+1} & \frac{1,77e^{-28s}}{60s+1} & \frac{5,88e^{-27s}}{50s+1} \\ \frac{5,39e^{-18s}}{50s+1} & \frac{5,72e^{-14s}}{60s+1} & \frac{6,90e^{-15s}}{40s+1} \\ \frac{4,38e^{-20s}}{33s+1} & \frac{4,42e^{-22s}}{44s+1} & \frac{7,20}{19s+1} \end{bmatrix} \begin{bmatrix} u_1(s) \\ u_2(s) \\ u_3(s) \end{bmatrix} + \begin{bmatrix} \frac{1,20e^{-27s}}{45s+1} & \frac{1,44e^{-27s}}{40s+1} \\ \frac{1,52e^{-15s}}{25s+1} & \frac{1,83e^{-15s}}{20s+1} \\ \frac{1,14}{27s+1} & \frac{1,26}{32s+1} \end{bmatrix} \begin{bmatrix} d_m(s) \\ d_{um}(s) \end{bmatrix} \quad (1)$$

### 2.1.3. Tujuan kontrol dan Tujuan Ekonomi

Tujuan kontrol dari proses SHOF yaitu[7]:

- Menjaga  $y_1$  pada  $0,0 \pm 0,005$  pada keadaan *steady*
- Menjaga  $y_2$  pada  $0,0 \pm 0,005$  pada keadaan *steady*
- Menolak masukan gangguan padad  $u_3$  dan  $d_{um}$  dimana dapat bervariasi antara  $-0,5$  dan  $0,5$

sedangkan tujuan ekonomi dari proses SHOF yaitu memaksimalkan uap (*steam*) pada generator uap (memaksimalkan *heatremoval*) pada sirkulasi *reflux* bagian bawah  $u_3$ . Memaksimalkan uap dilakukan dengan membuat  $u_3$  sekecil mungkin[7][8].

### 2.1.4. Kontrol Constraint

Kendala-kendala (*constraint*) yang dimiliki SHOF yaitu[7][8]:

- Aliran atas dan aliran tengah memiliki batas atas dan batas bawah (*hard bounds*) :
 
$$-0,5 \leq u_1 \leq 0,5$$

$$-0,5 \leq u_2 \leq 0,5$$
- Reflux duty* bawah memiliki batas :
 
$$-0,5 \leq u_3 \leq 0,5$$
- Batas maksimum perubahan pada  $u_1$  dan  $u_2$  adalah  $0,25$  tiap waktu cuplik
- $y_1$  dan  $y_2$  harus dikontrol antara  $-0,5$  dan  $0,5$  selama terjadi gangguan
- $y_3$  memiliki nilai minimum yaitu  $-0,5$

### 2.2. Metode Kontrol *Model Predictive Control (MPC)*

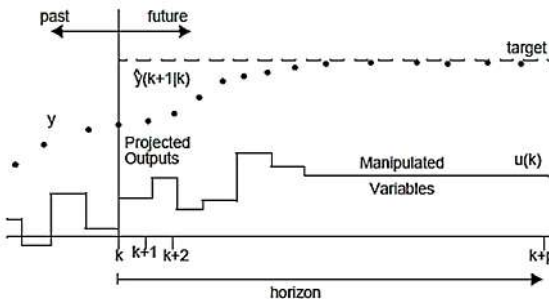
Pada prinsipnya, untuk memecahkan permasalahan pada MPC dapat diperoleh dengan mengacu pada Gambar 3.

Untuk setiap set yang diasumsikan pergerakan kontrol sekarang dan yang akan datang  $\Delta u(k), \Delta u(k+1), \dots, \Delta u(k+M-1)$  perilaku yang akan datang dari keluaran proses  $y(k+1|k), y(k+2|k), \dots, y(k+P|k)$  dapat diprediksi melalui sebuah *horizon P*. Pergerakan kontrol  $M$  saat ini dan yang akan datang ( $M \leq P$ ) dihitung untuk meminimasi sebuah fungsi tujuan kuadratik,

$$\min_{\Delta u(k) \dots \Delta u(k+M-1)} \sum_{l=1}^P \| \Gamma_l^y ([y(k+l|k) - r(k+l)] \|^2 + \sum_{l=1}^M \| \Gamma_l^u [\Delta u(k+l-1)] \|^2 \quad (2)$$

$\Gamma_l^y$  dan  $\Gamma_l^u$  disini merupakan matriks pembobot untuk menghukum (*penalizing*) komponen-komponen khusus

dari  $y$  dan  $u$  pada interval waktu tertentu yang akan datang.  $r(k+l)$  merupakan nilai vektor dari referensi yang akan datang (*setpoints*).



Gambar3. Prinsip prediksi pada MPC [14]

Meskipun pergerakan kontrol  $M$  telah dihitung, tetapi hanya yang pertama saja yang akan diimplementasikan ( $\Delta u(k)$ ). Pada interval waktu cuplik berikutnya, nilai baru dari keluaran telah didapatkan, *control horizon* digeser satu langkah ke depan, dan perhitungan yang sama diulang. Konsep kendali ini disebut sebagai “*moving horizon*” atau “*receding horizon*”.

### 2.2.1. Model dan Parameter MPC

Sistem *loop* terbuka dimodelkan dengan Persamaan 3.

$$y = Gu + G_d d \quad (3)$$

dimana

$$u = [u_1 u_2 u_3]^T \quad y = [y_1 y_2 y_3]^T \quad d = [d_m d_{um}]^T \quad (4)$$

$G$  merupakan model *plant* dan  $G_d$  merupakan model gangguan.

Nilai parameter MPC yang digunakan pada kasus pengontrolan proses SHOF ditunjukkan pada Tabel 3. Diasumsikan waktu penetapan *plant* SHOF hingga 300 menit, dan dipilih waktu cuplik  $Ts = 4$  menit, maka prediksi *horizon*  $P = 300/4 = 75$ . Untuk kontrol *horizon* digunakan strategi *blocking* dengan kontrol *horizon*  $M = [1 \ 1 \ 9 \ 5 \ 59]$  yang berarti terdapat 5 buah langkah pada prediksi *horizon* dan hasil penjumlahan dari masing-masing vektor adalah sama dengan  $P$ .

Perancangan gain *estimator* menggunakan model gangguan tak terukur pada *plantmod*. Perintah yang digunakan untuk mendapatkan gain *estimator* pada Matlab yaitu  $[Kest] = smpcest(plantmod, Q, R)$ . Nilai  $Q = 1$  sedangkan nilai  $R$  dibuat sekecil mungkin (karena *measurementnoise* diabaikan dalam simulasi) yaitu  $R = [0.001 * eye(ny)]$ , dimana  $(ny)$  adalah jumlah keluaran.

Table 3. Nilai Parameter-parameter MPC

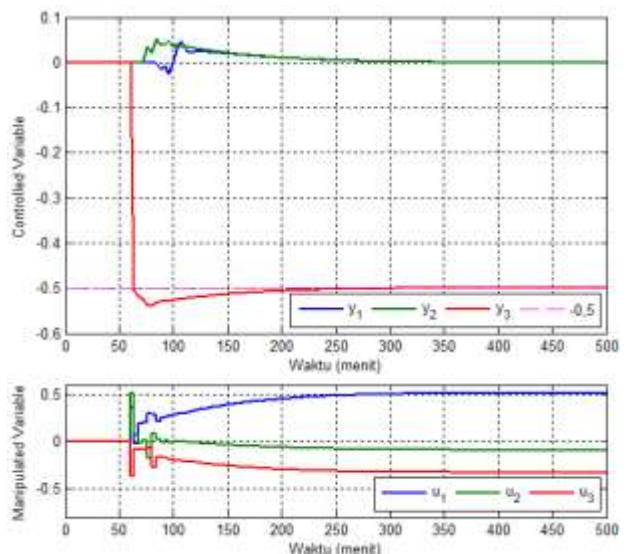
Parameter MPC (ny)	Nilai 4 (menit)	Keterangan
		Jumlah keluaran Waktu cuplik

$Ts$	75	Prediksi <i>horizon</i>
$P$	[1 1 9 5 59]	Kontrol <i>horizon</i>
$M$	[2.5 2.5 0.1]	Outputweighting
$ywt$	[0 0 0.05]	MV weighting
$uwt$	1	Kovarian disturbances
$Q$	[0.001* eye(ny)]	Kovarian measurement noise
$R$		

### 3. Hasil dan Analisa

Dengan menggunakan model serta parameter-parameter MPC yang telah didapatkan dilakukan simulasi pengontrolan proses SHOF. Simulasi yang dilakukan yaitu: (1) Pengontrolan proses SHOF tanpa *constraint*, (2) pengontrolan proses SHOF dengan adanya *constraint*, serta (3) pengujian MPC pada proses SHOF dalam menangani masukan gangguan. Untuk mengetahui performa kontroler yang telah dirancang, pengontrolan proses SHOF dengan skema MPC ini dibandingkan dengan skema kontroler PID pada kondisi plant yang sama.

#### 3.1. Pengontrolan SHOF tanpa *Constraint*



Gambar4. Respon keluaran proses SHOF pada skema kontroler MPC tanpa *constraint*

Simulasi pengendalian proses SHOF tanpa *constraint* ini dijalankan selama 500 menit dan *setpoint* disesuaikan dengan tujuan pengendalian SHOF yaitu  $r = [\text{zeros}(15,1) \ \text{zeros}(15,1) \ \text{zeros}(15,1); 0 \ 0 \ -.5]$ . Nilai  $r$  tersebut merepresentasikan bahwa *top end point* ( $y_1$ ) serta *side end point* ( $y_2$ ) dipertahankan pada nilai 0, sedangkan *bottom reflux temp* ( $y_3$ ) diset 0,5 setelah menit ke-60 ( $15 \times Ts = 60$ ).

Gambar 4. menunjukkan respon keluaran proses SHOF tanpa *constraint*. Berdasarkan hasil simulasi didapatkan bahwa  $y_1$  dan  $y_2$  dapat meregulasi nilainya pada nilai 0, sedangkan  $y_3$  mengalami *overshoot* (sebesar 7,88%)

dengan nilai puncak  $-0,5394$  sebelum menetap pada nilai  $0,5$ .

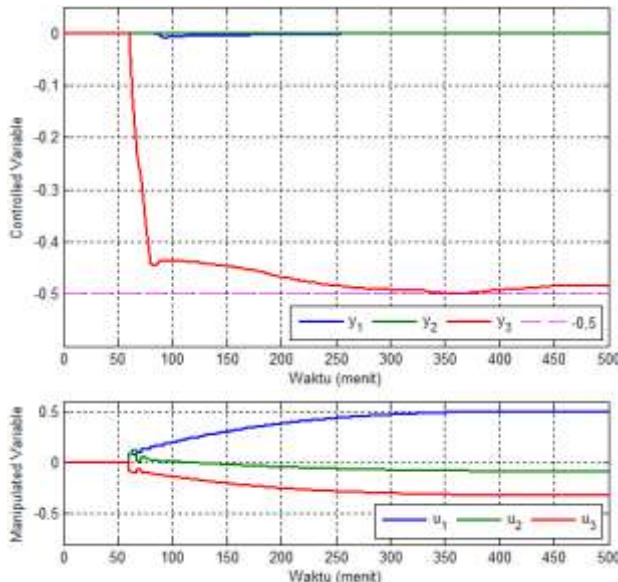
### 3.2. Pengontrolan SHOF dengan *Constraint*

Untuk pengendalian proses SHOF dengan *constraint* sebagian besar parameternya adalah sama dengan parameter pada kontroler MPC untuk kondisi tanpa *constraint*. Yang berbeda adalah  $y_{lim}$  dan  $u_{lim}$  memiliki nilai yang merupakan batasan-batasan pada *constraint*. Batasan-batasan tersebut yaitu:

$$y_{lim} = [-0,5 \ -0,5 \ -0,5 \ 0,5 \ 0,5]$$

yang merepresentasikan batas minimum  $y_{min,j} = -0,5$  serta batas maksimum  $y_{max,j} = 0,5$  (dimana  $j = 1,2,3$ ).

$u_{lim} = [ [-0,5 \ -0,5 \ -0,5] [0,5 \ 0,5 \ 0,5] [0,25 \ 0,25 \ 0,25] ]$  yang merepresentasikan batas minimum  $u_{min,i} = -0,5$ , batas maksimum  $u_{max,i} = 0,5$  serta batas perubahan sinyal kontrol  $\Delta u_{max,i} = 0,25$  (dimana  $i = 1,2,3$ ).



Gambar 5. Respon keluaran proses SHOF pada skema kontroler MPC dengan *constraint*

Gambar 5 menunjukkan respon keluaran proses SHOF dengan *constraint*. Berdasarkan hasil pengujian didapatkan bahwa  $y_1$  dan  $y_2$  dapat mempertahankan nilainya pada nilai 0 (toleransi  $\pm 0,05$ ) dengan nilai IAE masing-masing 0,8299 dan 0,1297. Variabel  $y_3$  pun dapat menetap pada nilai 0,4867 dengan nilai IAE 16,0483 tanpa

melanggar batas bawahnya yaitu pada nilai 0,5. Hasil pengujian juga memberikan unjuk kerja yang sangat baik pada seluruh MV dengan tidak melanggar batas maksimum  $u_{max,i} = 0,5$ , batas minimum  $u_{min,i} = -0,5$  dan batas maksimum perubahan sinyal kontrol  $\Delta u_{max,i} = 0,25$ .

### 3.3. Pengujian MPC pada proses SHOF dalam menangani variasi masukan gangguan

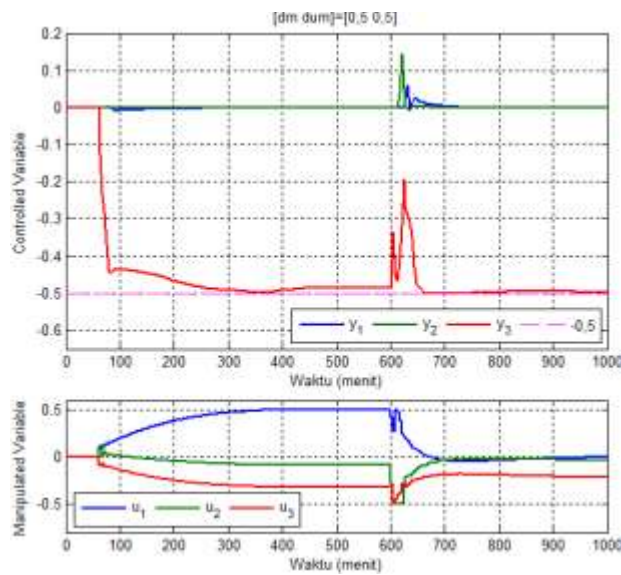
Desain MPC diuji pada kondisi *plant* SHOF dengan *constraint* serta mendapat masukan gangguan. Empat buah konfigurasi kasus uji ditunjukkan pada Tabel 4. Masukan gangguan diberikan pada menit ke-600 (kondisi *steady*) dan simulasi dijalankan selama 1000 menit.

Tabel 4. Konfigurasi masukan gangguan

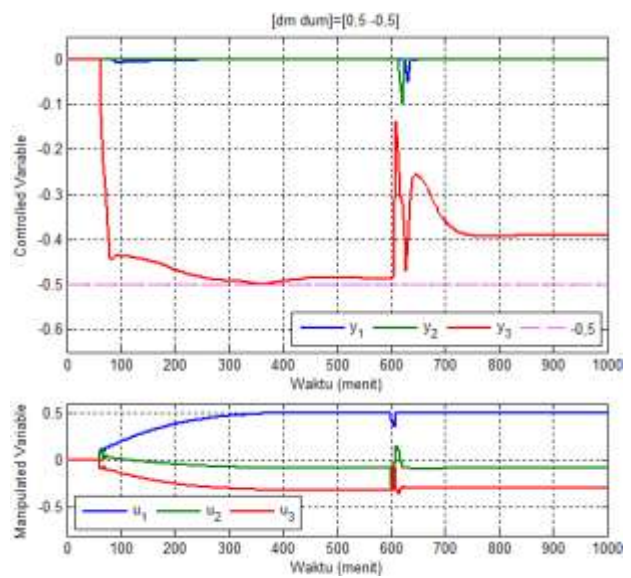
No.	[dm]	[dum]
1	0,5	0,5
2	0,5	-0,5
3	-0,5	0,5
4	-0,5	-0,5

Hasil pengujian kendali MPC dalam menangani variasi masukan gangguan ditunjukkan pada Gambar 6. Berdasarkan keseluruhan hasil uji, tidak terdapat adanya pelanggaran terhadap semua *constraint* serta variabel proses  $y_1$  dan  $y_2$  mampu kembali pada setpoint pada nilai 0. Pada konfigurasi  $[dm dum] = [0,5 \ -0,5]$  dan  $[dm dum] = [-0,5 \ -0,5]$  variabel  $y_3$  belum dapat menetap pada nilai minimumnya.

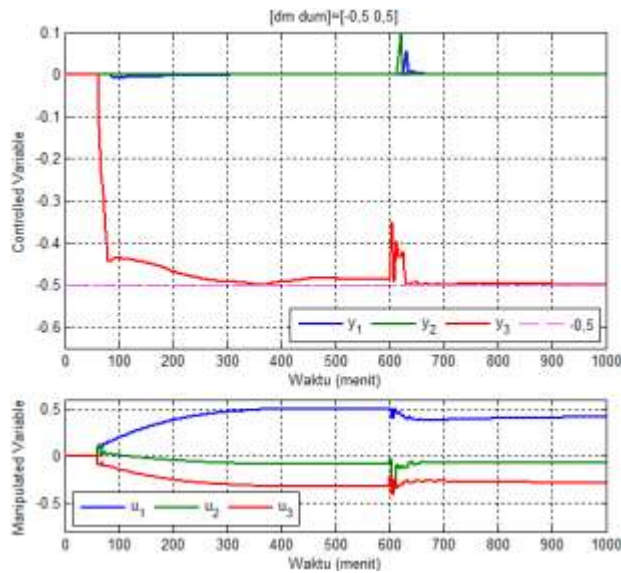
Berdasarkan data hasil pengujian pada Tabel 5 dan Tabel 6, deviasi *max* tertinggi untuk variabel proses  $y_1$  yaitu -0,0605 dengan lama deviasi 66 menit dan nilai IAE 2,0502, sedangkan untuk variabel proses  $y_2$  yaitu 0,1452 dengan lama deviasi 12 menit dan nilai IAE 1,2625. berdasarkan data pada Tabel 7, deviasi saat keadaan *steady* tertinggi variabel  $y_3$  yaitu pada konfigurasi masukan gangguan  $[dm dum]=[-0,5 \ -0,5]$  sebesar 0,5068 dan menetap pada nilai *steady state* 0,0068 selama 200 menit setelah diberi masukan gangguan. Deviasi sebesar 0,109 juga terjadi pada konfigurasi  $[dm dum]=[0,5 \ -0,5]$  dan menetap pada nilai *steady* -0,3910 selama 120 menit setelah diberi masukan gangguan. Pada konfigurasi  $[dm dum]=[0,5 \ 0,5]$  dan  $[dm dum]=[-0,5 \ 0,5]$  variabel  $y_3$  mampu menetap pada nilai steady state minimumnya yaitu -0,5 (toleransi  $\pm 0,05$ ).



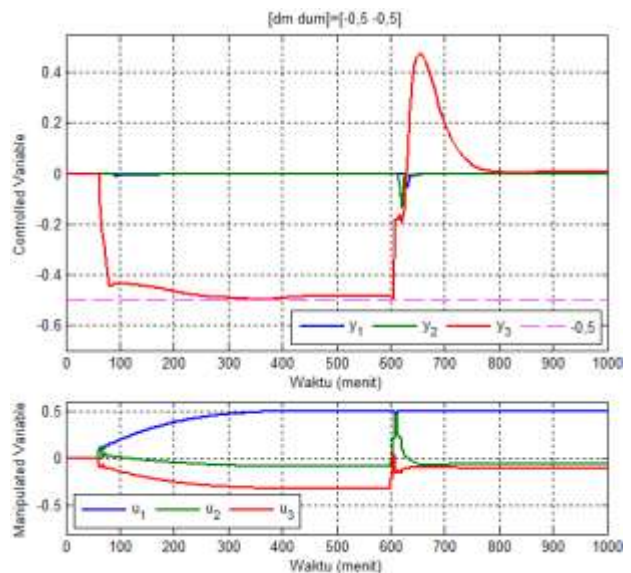
(a) Respon keluaran proses SHOF pada skema kontroler MPC dengan  $[dm\ dum]=[0,5\ 0,5]$



(b) Respon keluaran proses SHOF pada skema kontroler MPC dengan  $[dm\ dum]=[0,5\ -0,5]$



(c) Respon keluaran proses SHOF pada skema kontroler MPC dengan  $[dm\ dum]=[-0,5\ 0,5]$



(d) Respon keluaran proses SHOF pada skema kontroler MPC dengan  $[dm\ dum]=[-0,5\ -0,5]$

Gambar6. Respon keluaran proses SHOF pada variasi masukan gangguan [du dum]

Table 5. Unjuk kerja variabel  $y_1$  dalam menangani variasi masukan gangguan

No.	$[dm\ dum]$	$y_1$			
		Deviasi Max	Deviasi ( $\pm$ menit)	Nilai Steady state	IAE
1	[0,5 0,5]	0,0605	66	0	2,0502
2	[0,5-0,5]	0,0515	16	0	1,1748
3	[-0,5 0,5]	0,0561	20	0	1,3459
4	[-0,5-0,5]	0,0550	36	0	1,5213

Table 6. Unjuk kerja variabel  $y_2$  dalam menangani variasi masukan gangguan

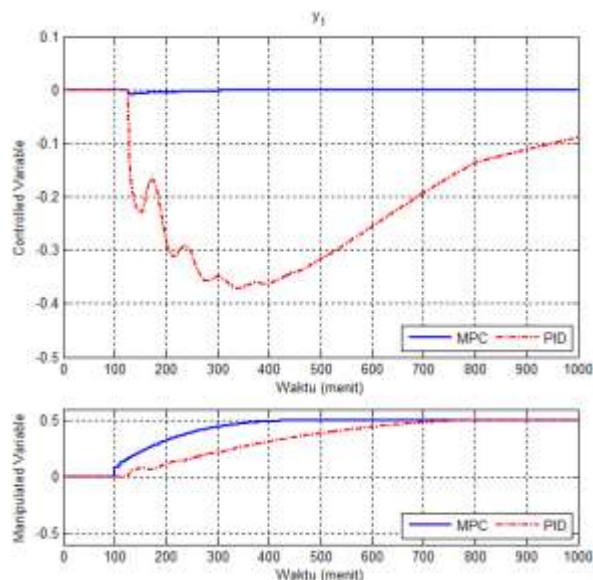
No.	$[dm\ dum]$	$y_2$			
		Deviasi Max	Deviasi ( $\pm$ menit)	Nilai Steady state	IAE
1	[0,5 0,5]	0,1452	12	0	1,2625
2	[0,5-0,5]	0,0978	12	0	0,8048
3	[-0,5 0,5]	0,1004	12	0	0,7643
4	[-0,5-0,5]	0,1370	16	0	1,2187

**Table 7.** Unjuk kerja variabel  $y_3$  dalam menangani variasi masukan gangguan

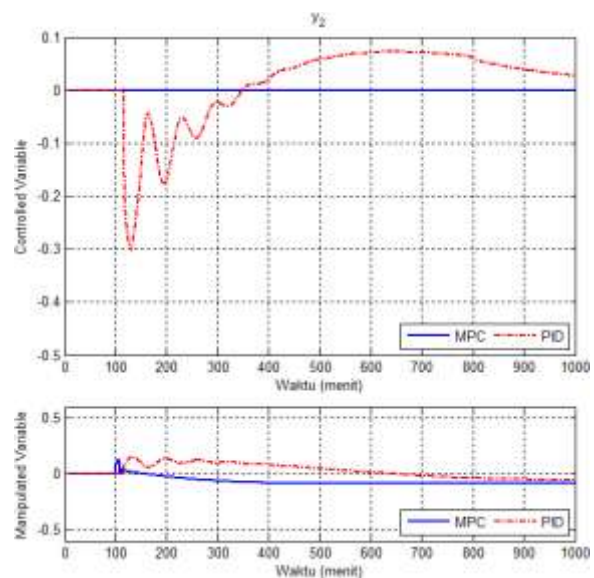
No.	[dm dum]	$y_3$			IAE
		Nilai Steady state	Waktu steady (menit)	Deviasi terhadap set-point	
1	[0,5 0,5]	-0,498	60	0,002	25,3653
2	[0,5-0,5]	-0,3910	120	0,109	69,1741
3	[-0,5 0,5]	-0,499	96	0,001	20,2380
4	[-0,5-0,5]	0,0068	200	0,5068	243,1626

### 3.3. Perbandingan kinerja MPC dengan kontroler PID

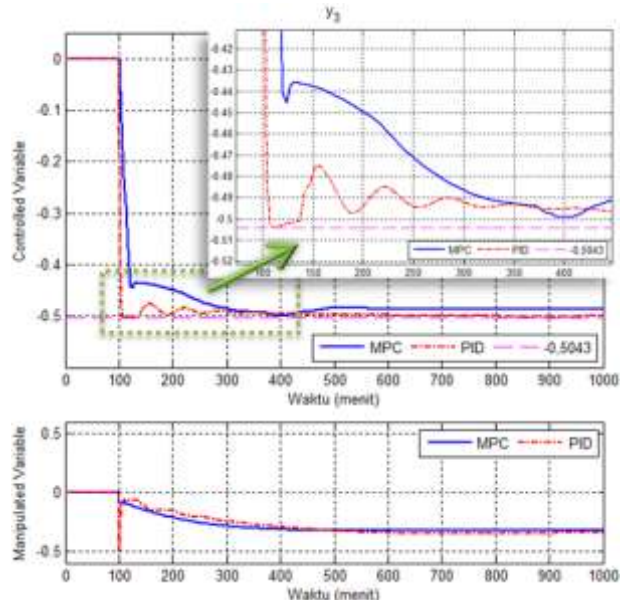
Pada pengujian ini set-point untuk  $y_3$  diberikan pada menit ke-100 dengan nilai -0,5 dan proses SHOF dijalankan selama 1000 menit. Skema kontroler yang baik untuk proses SHOF adalah yang dapat memenuhi tujuan kontrol yaitu meregulasi variabel proses  $y_1$  dan  $y_2$  pada nilai 0, memenuhi tujuan ekonomi yaitu variabel  $y_3$  diminimumkan mendekati nilai -0,5, serta tidak melanggar semua constraint yang ada.



**Gambar7.** Perbandingan respon  $y_1$  dan sinyal kontrol  $u_1$ antara skema MPC dan PID



**Gambar8.** Perbandingan respon  $y_2$  dan sinyal kontrol  $u_2$ antara skema MPC dan PID



**Gambar9.** Perbandingan respon  $y_3$  dan sinyal kontrol  $u_3$ antara skema MPC dan PID serta Pelanggaran constraint batas bawah pada variabel  $y_3$ kontrol PID

**Table 8.** Perbandingan respon antara kontroler MPC dan kontroler PID

Kontroler	Deviasi max	t-Deviasi (menit)	Nilai steady state	Waktu steady (menit)	Deviasi saat steady	IAE
MPC	$y_1$ 0,0086	$\pm 12$	0	180	0	0,8341
	$y_2$ 0,0020	0	0	0	0	0,1352
	$y_3$ -	-	-0,4867	500	0,0133	22,2054
PID	$y_1$ 0,3717	873	-	-	-	207,4897
	$y_2$ 0,3011	885	-	-	-	55,5728
	$y_3$ -	-	-0,5006	279	-0,0006	4,3909

Lama deviasi dengan menggunakan kontroler MPC yaitu selama  $\pm 12$  menit pada  $y_1$ , pada variabel  $y_2$  deviasi masih dalam rentang toleransi  $\pm 0,005$ , sedangkan pada kontroler PID simulasi dijalankan selama 1000 menit pun belum mencapai titik *steady*-nya. Waktu *steady* untuk variabel  $y_3$  pada kontroler PID terjadi pada menit ke-279. Nilai tersebut lebih cepat dibandingkan dengan kontroler MPC yang terjadi pada menit ke-500. Meskipun deviasi yang dialami variabel  $y_3$  saat keadaan *steady* pada kontroler MPC sebesar 0,0133 dan menetap pada nilai -0,4867 dengan nilai IAE 22,2054 namun variabel ini tidak melanggar *constraint*. Berbeda dengan kontroler PID yang mengalami deviasi saat keadaan *steady* sebesar 0,0006 dengan nilai IAE 4,3909 dan menetap pada nilai -0,5006, yang artinya variabel  $y_3$  pada kontroler PID melanggar *constraint* batas bawah dari variabel proses  $y_3$ . Bahkan pada menit ke-100 pun, variabel tersebut sudah melanggar *constraint*.

#### 4. Kesimpulan

Strategi *blocking*  $M=[1\ 1\ 9\ 5\ 59]$  dalam rentang *horizon*  $P=[75]$  pada kontroler MPC, mampu menanganidinamika serta tujuan kontrol proses SHOF dengan sangat baik. Tujuan ekonomi pun mampu diatasi dengan pembobotan  $y_{wt}=[2,5\ 2,5\ 0,1]$  dan  $u_{wt}=[0\ 0\ 0,05]$  tanpa adanya pelanggaran terhadap *constraint*. Berdasarkan hasil simulasi dan perbandingan terlihat bahwa respon pengontrolan proses SHOF dengan menggunakan MPC yang lebih baik dibandingkan dengan menggunakan PID. Hal ini disebabkan kontroler PID tidak dapat menangani adanya keterkaitan antara variabel masukan dan keluaran. Sedangkan pada kontroler MPC, karena berbasiskan model serta menggunakan strategi pergeseran *horizon* sehingga keluaran yang akan datang dapat diprediksi pada rentang *horizon*. Untuk pengembangan lebih lanjut dapat dilakukan variasi perubahan matriks bobot kovarian *disturbances Q* serta kovarian *measurement noise R* untuk mendapatkan *gain estimator* yang ideal dalam menangani masukan gangguan pada proses SHOF.

#### Referensi

- [1]. Badgwell TA, Qin SJ. *A survey of industrial model predictive control technology*. Control Engineering Practice. 2003; 11: 733 – 764.
- [2]. Cutler CR, Ramaker DL. *Dynamic Matrix Control—a Computer Control Algorithm*. Proceedings of the JACC. San Francisco.1980.
- [3]. Ahmad A, Wahid A. *Application of Model Predictive Control (MPC) Tuning Strategy in Multivariable Control of Distillation Column*. Reaktor. 2007; 11(2): 66 – 70.
- [4]. Dougherty D, Cooper D. *A Practical Multiple Model Adaptive Strategy for Multivariable Model Predictive Control*. Control Engineering Practice. 2003; 11:649 – 664.
- [5]. Jusagmal AEL. Analisis dan Simulasi *Shell Heavy Oil Fractionator (SHOF)* Menggunakan Metode Kontrol PID. Penelitian. JTE UNDIP Semarang. 2011.
- [6]. Meilia S. Perancangan Sistem Kendali *Genetic-Fuzzy*: Studi Kasus Pada Pengendalian *Top and Side End Point Composition* dan *Bottom Refluks Temperature* pada *Distillation Column*. Penelitian. JTE UNDIP Semarang. 2012.
- [7]. Brosilow C, Joseph B. *Techniques of Model-Based Control*. Prentice-Hall, Inc. 2001.
- [8]. Maciejowski JM. *Predictive Control with Constraints*. England: Prentice Hall. 2000.
- [9]. Grimble MJ, Johnson MA. Editors. *Control of Dead-time Processes*. Verlag: Springer. 2007.
- [10]. Harris, DC. *Quantitative Chemical Analysis* (6 ed.).New York: W.H. Freeman and Company. 2003: 129.
- [11]. Science & Technology Encyclopedia. *Titration*. New York: McGraw-Hill. 2011.
- [12]. Prett, DM. and M. Morari, editors. *The Shell Process Control Workshop. Process Control Research: Industrial and Academic Perspectives*. Boston: Butterworths. 1987.
- [13]. Prett, DM. and C. Garcia. *Fundamental Process Control*. Boston: Butterworths. 1988.
- [14]. Morari M, Ricker NL. *Model Predictive Control User's Guide - Ver.1*. Natick: MathWorks, Inc. 1998.